

Zeitschrift: Eclogae Geologicae Helvetiae
Herausgeber: Schweizerische Geologische Gesellschaft
Band: 28 (1935)

Anhang: Tafeln
Autor: [s.n.]

Nutzungsbedingungen

Die ETH-Bibliothek ist die Anbieterin der digitalisierten Zeitschriften auf E-Periodica. Sie besitzt keine Urheberrechte an den Zeitschriften und ist nicht verantwortlich für deren Inhalte. Die Rechte liegen in der Regel bei den Herausgebern beziehungsweise den externen Rechteinhabern. Das Veröffentlichen von Bildern in Print- und Online-Publikationen sowie auf Social Media-Kanälen oder Webseiten ist nur mit vorheriger Genehmigung der Rechteinhaber erlaubt. [Mehr erfahren](#)

Conditions d'utilisation

L'ETH Library est le fournisseur des revues numérisées. Elle ne détient aucun droit d'auteur sur les revues et n'est pas responsable de leur contenu. En règle générale, les droits sont détenus par les éditeurs ou les détenteurs de droits externes. La reproduction d'images dans des publications imprimées ou en ligne ainsi que sur des canaux de médias sociaux ou des sites web n'est autorisée qu'avec l'accord préalable des détenteurs des droits. [En savoir plus](#)

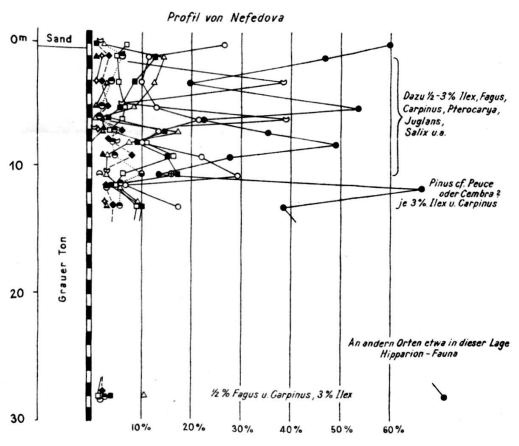
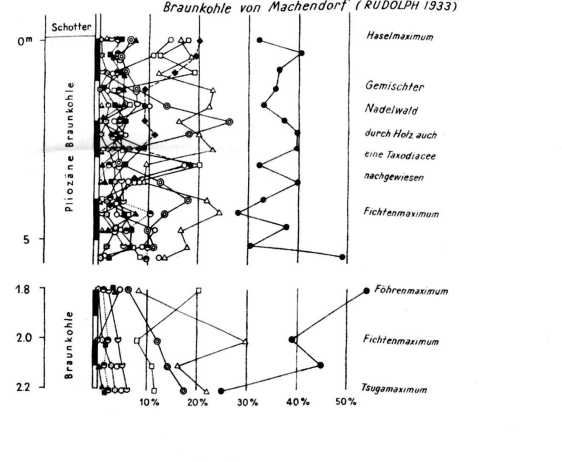
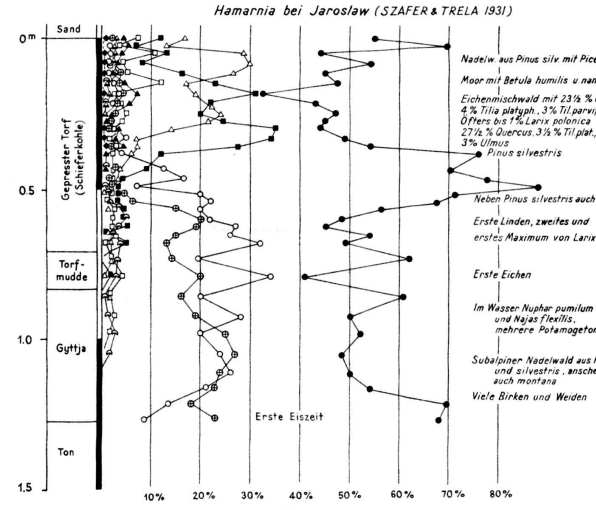
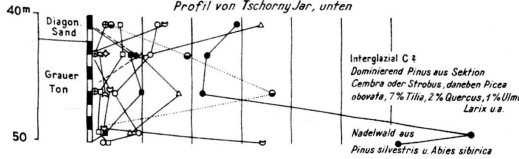
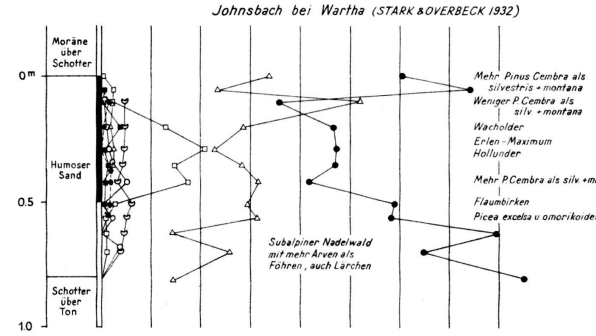
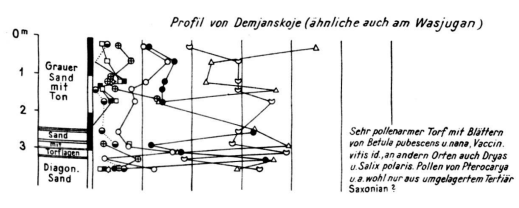
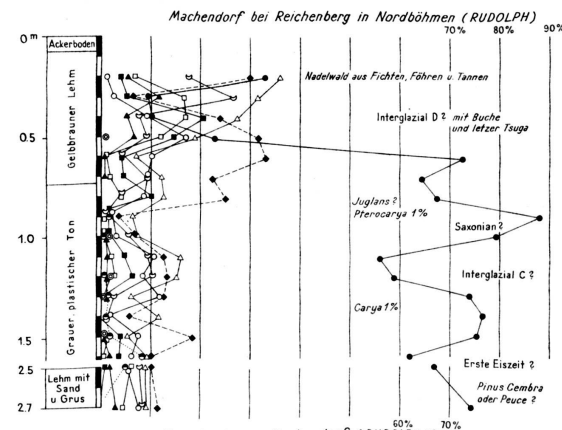
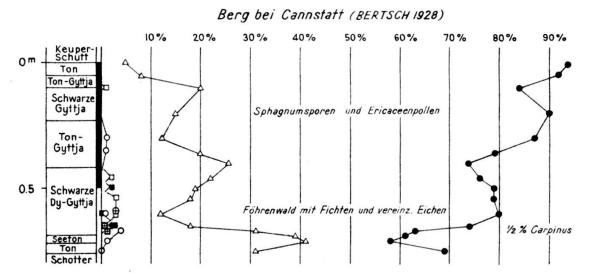
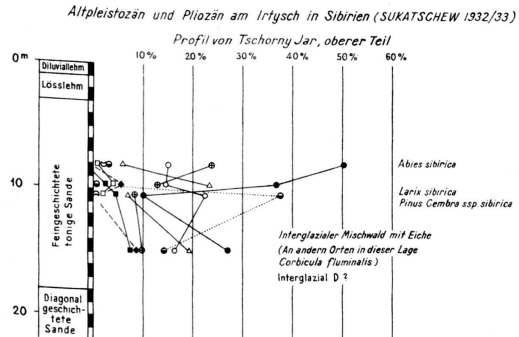
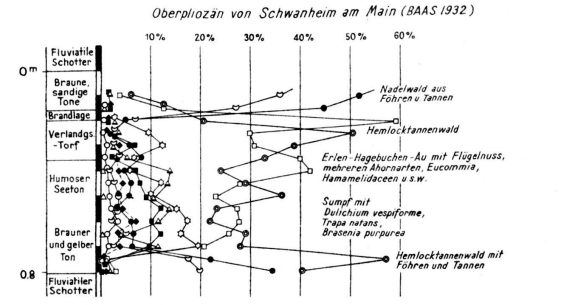
Terms of use

The ETH Library is the provider of the digitised journals. It does not own any copyrights to the journals and is not responsible for their content. The rights usually lie with the publishers or the external rights holders. Publishing images in print and online publications, as well as on social media channels or websites, is only permitted with the prior consent of the rights holders. [Find out more](#)

Download PDF: 14.04.2026

ETH-Bibliothek Zürich, E-Periodica, <https://www.e-periodica.ch>

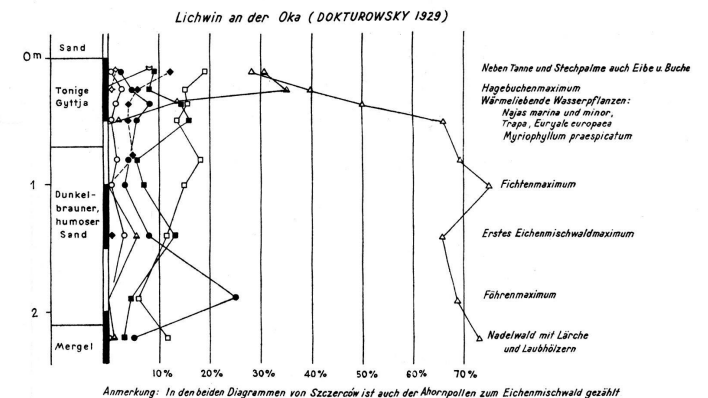
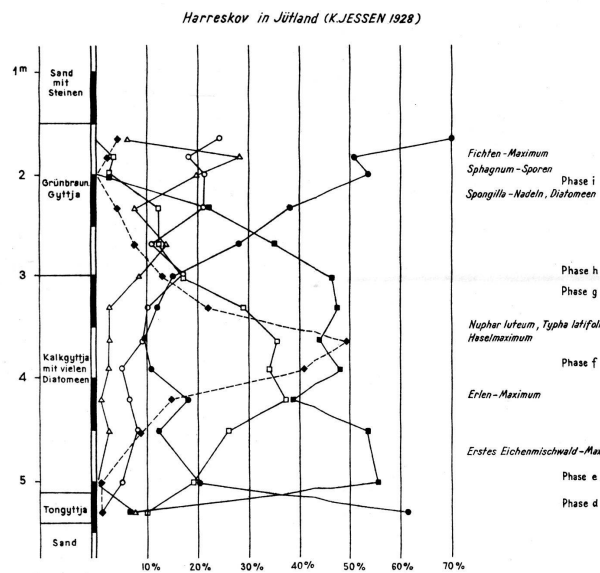
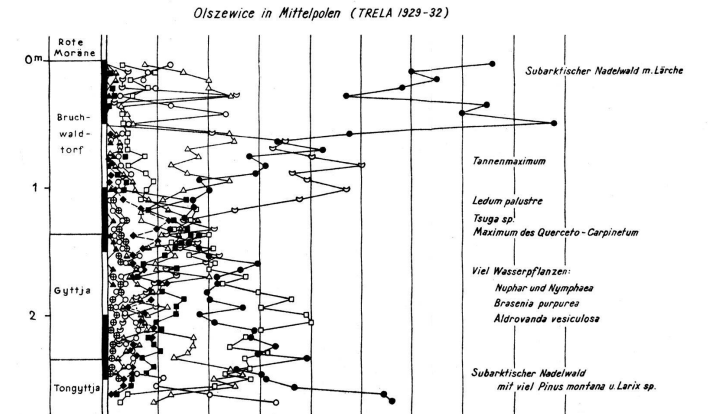
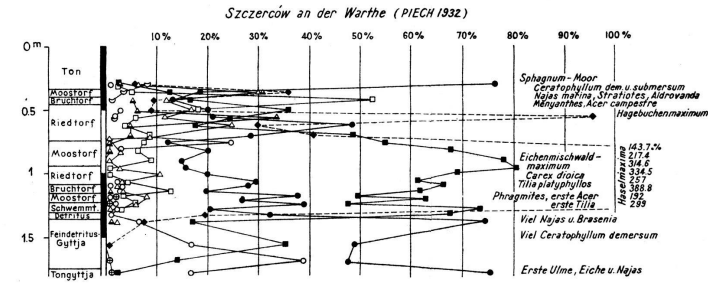
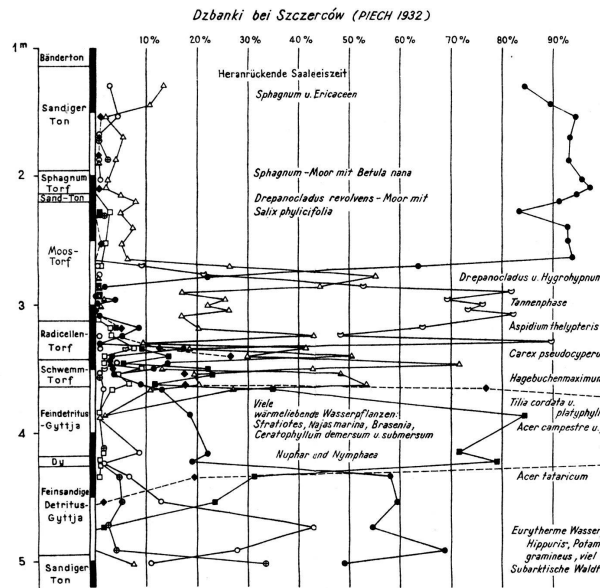
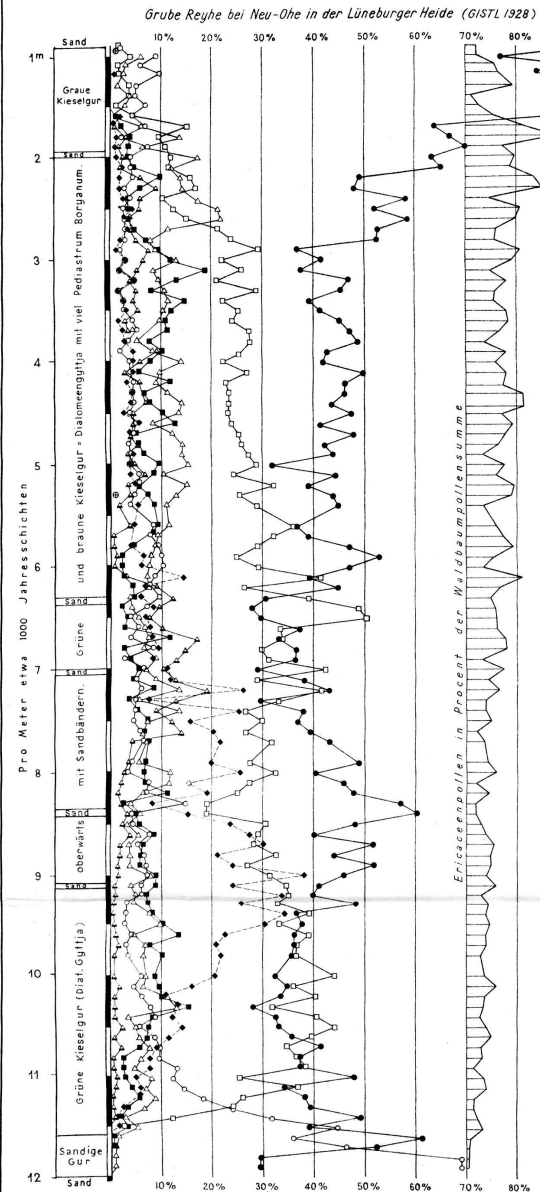
Pollendiagramme pliozäner und altpleistozäner Profile



Legende zu den Tafeln I-IV
Pollensignaturen

- Pinus (Föhren im Allgemeinen)
- Larix (Lärchen)
- Tsuga (Hemlocktanne)
- Alnus (Erlen)
- Pterocarya + Carya (Hickory)
- Pinus cf. Peuce u. Strobos
- Picea (Fichten)
- Salix (Weiden)
- Corylus (Hasel)
- Fagus (Buchen)
- Eichenmischwald (=Quercus + Tilia + Ulmus)
- Pinus cf. Cembra (Arve)
- Abies (Weissföhren)
- Betula (Birken)
- Pterocarya (Flügelnuss)
- Carpinus (Hagebuche)
- Ilex (Stechpalme)

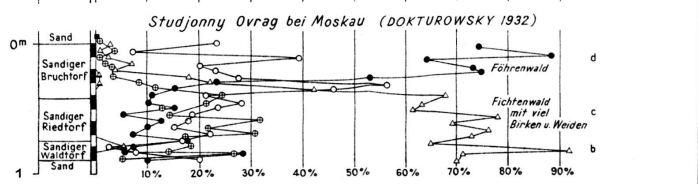
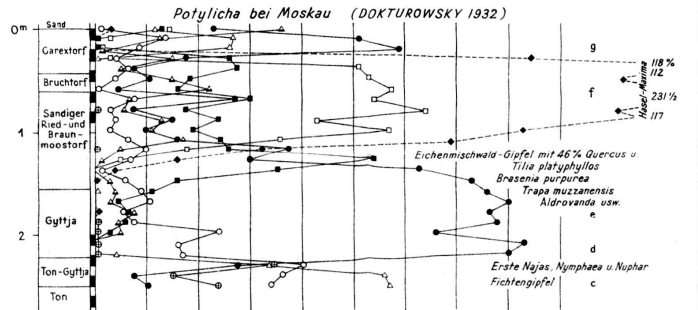
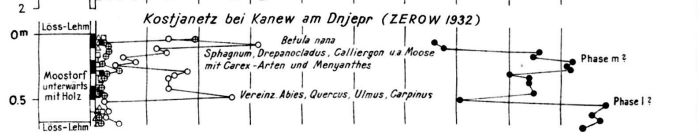
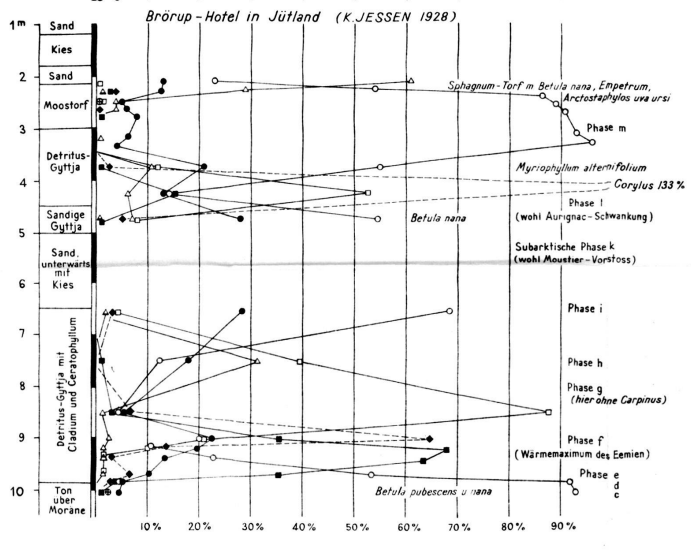
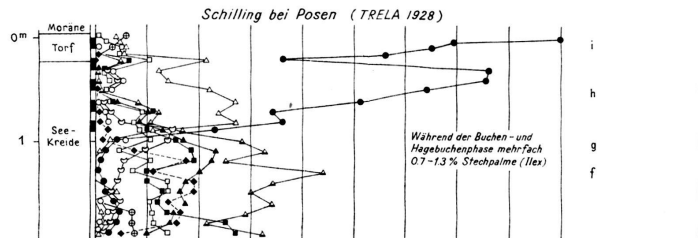
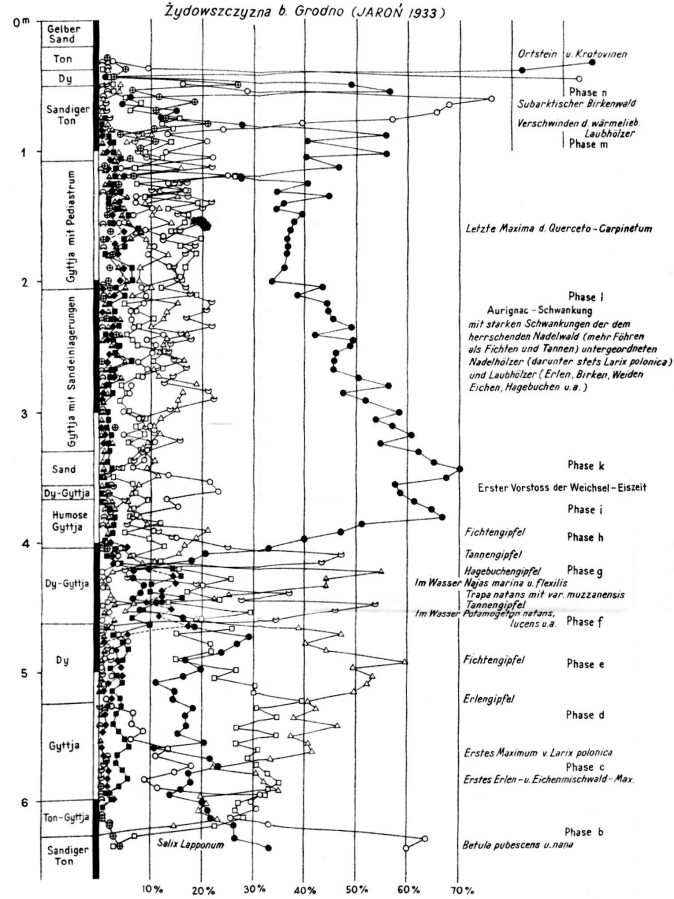
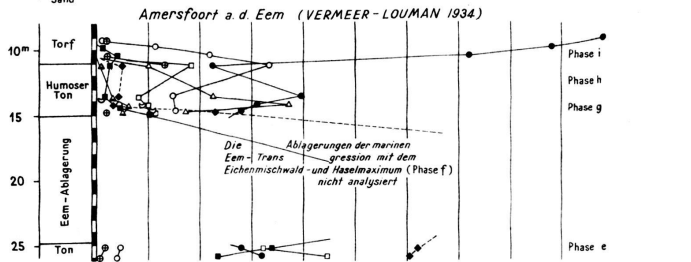
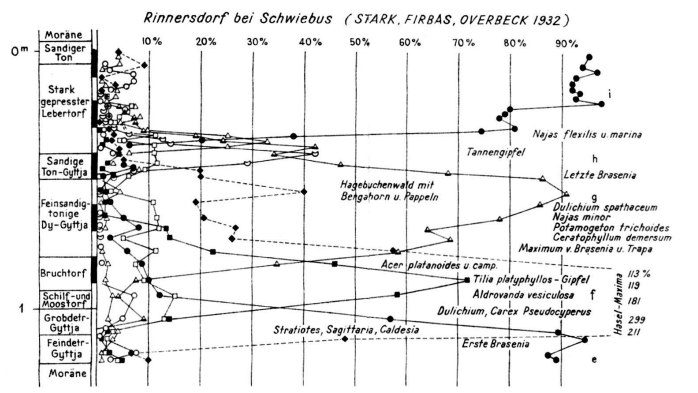
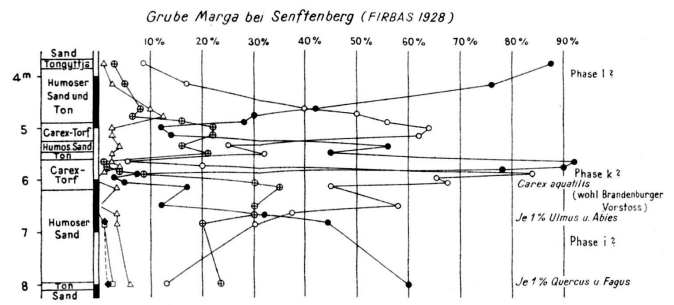
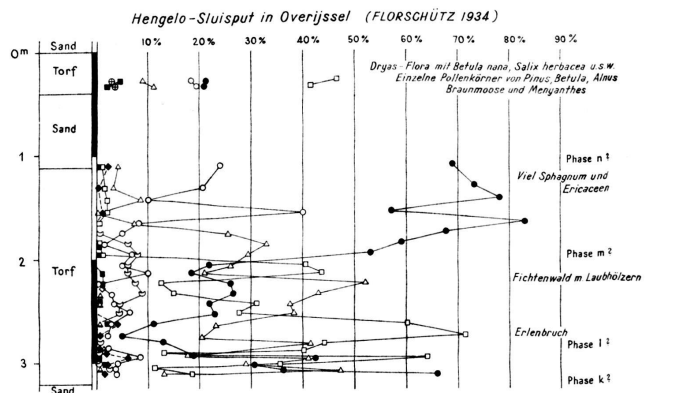
Pollendiagramme von Profilen des D-Interglazials



Anmerkung: In den beiden Diagrammen von Szczerców ist auch der Ahornpollen zum Eichenmischwald gezählt

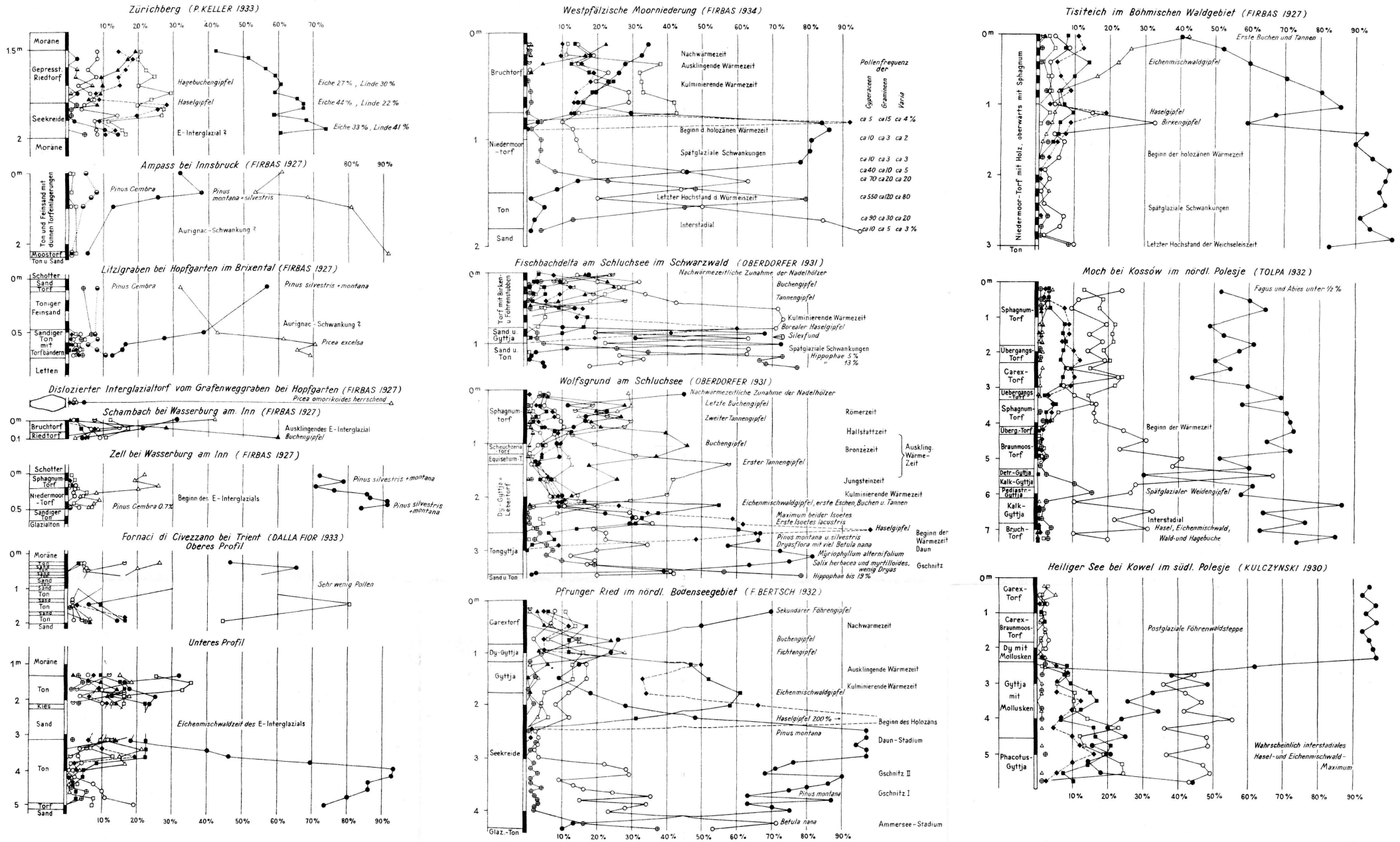
Legende siehe Tafel I.

Pollendiagramme von Profilen des E-Interglazials und der Aurignac-Schwankung



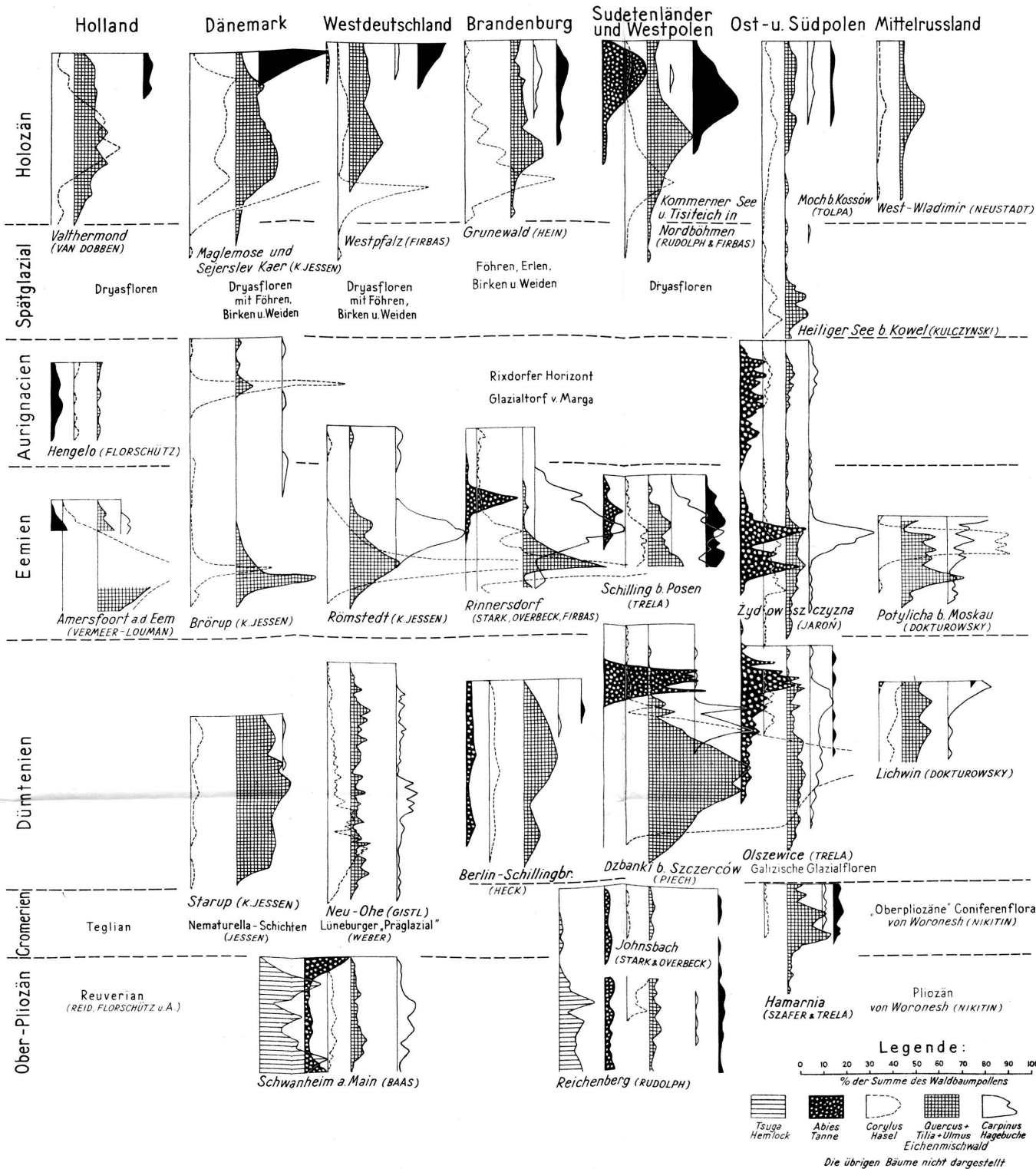
Legende siehe Tafel I.

Pollendiagramme aus dem Pleistozän und dem ausseralpinen Jung-Pleistozän & Holozän

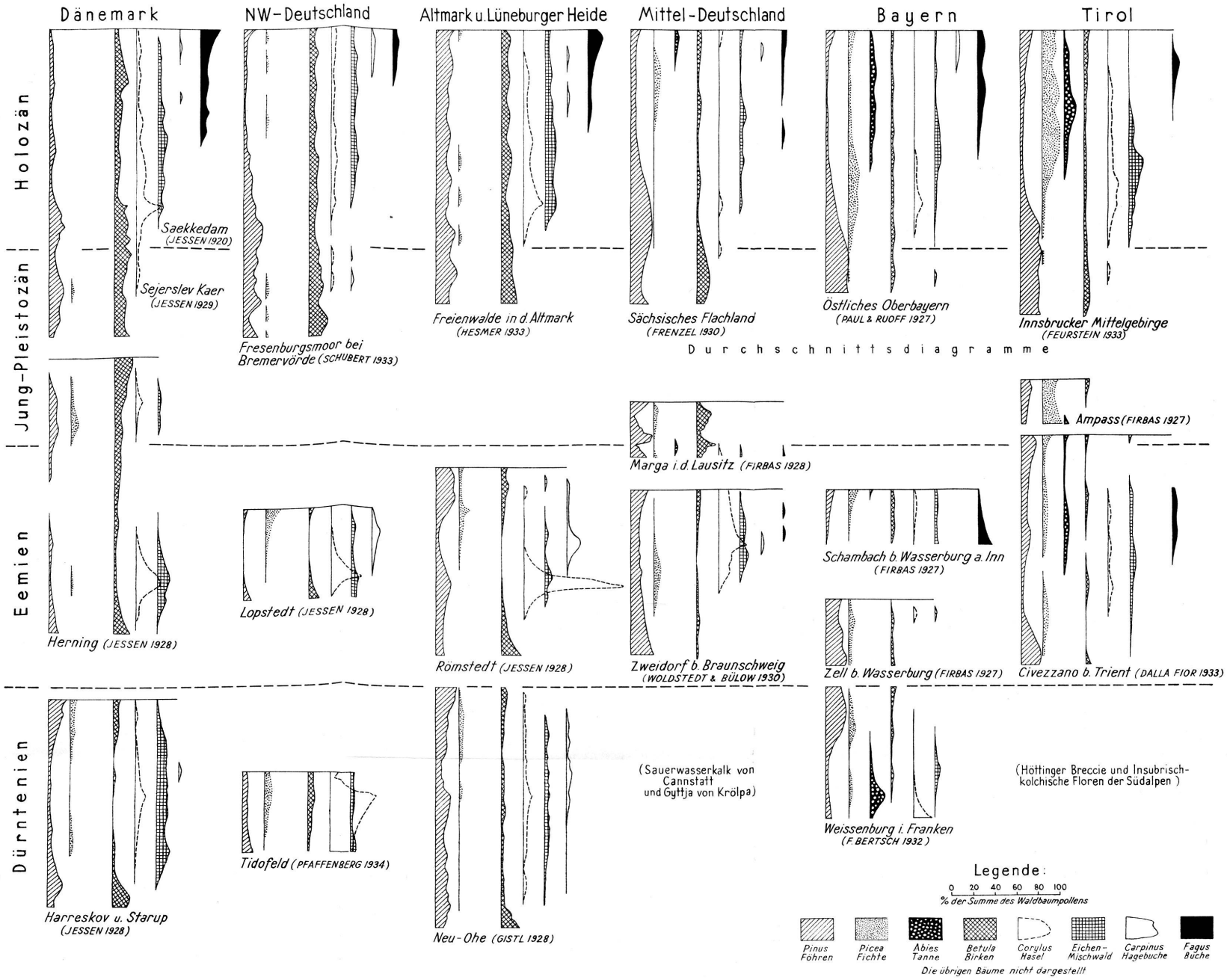


Legende siehe Tafel I.

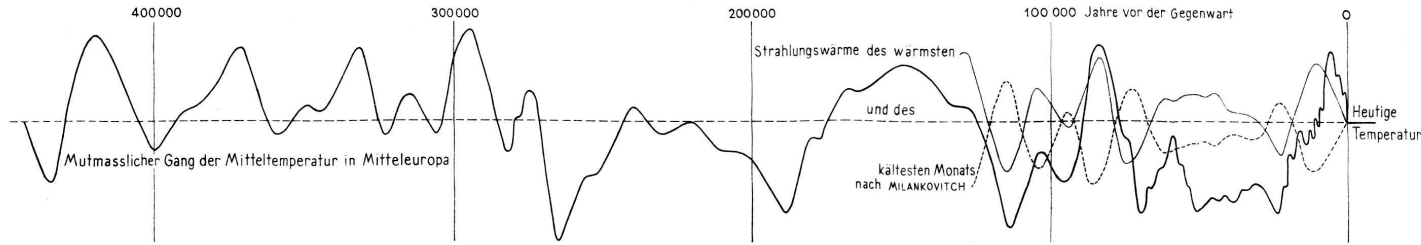
West-Ost-Reihe zerlegter Pollendiagramme



Nord-Süd-Reihe zerlegter Pollendiagramme



Synchronistische Übersicht



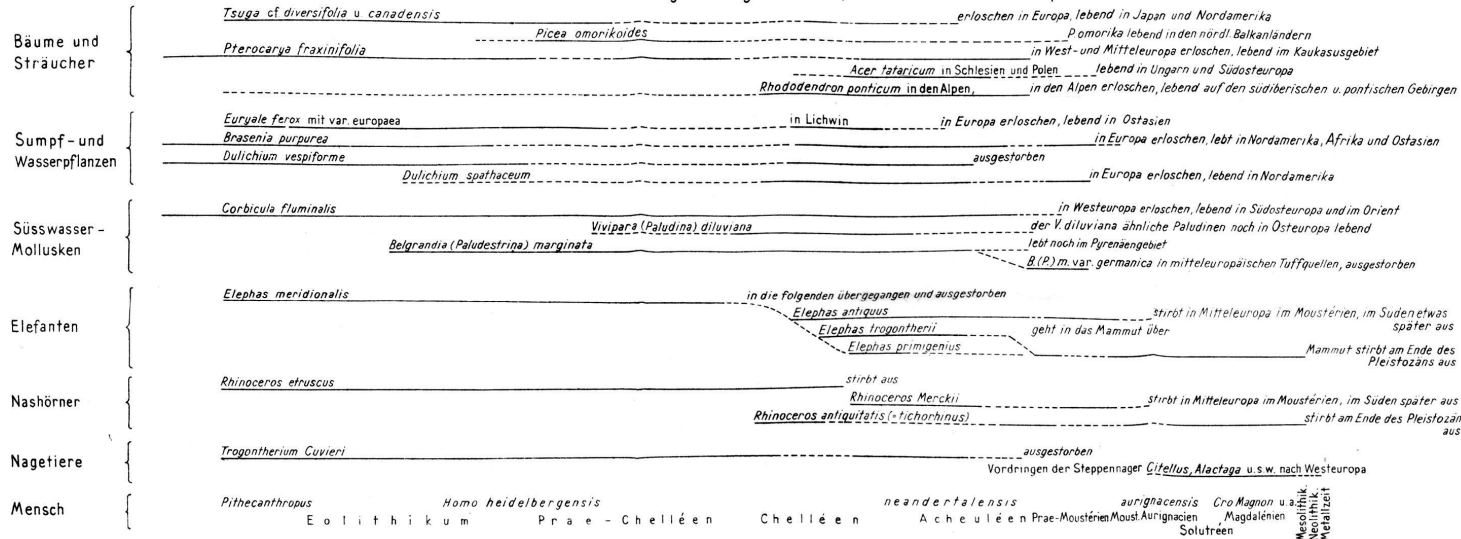
Ober-Pliozän Alt-Pleistozän Mittel-Pleistozän Jung-Pleistozän Holozän

Plaisancien Astien Cromerien Dürntenien Eemien Aurignac-Schwankung Schlussvereis Postglazial

=Reuverian incl Villafranchiano =Norfolkian =Teglian? =Sandomirien =Turolian =Masovien I =II Nordd Intergl =Masovien II Dani-Goli-u-Fini-glazial n DE GEER

	Iceniän		Saxonian		Polonian		Weichsel-Eiszeit = Vistulian	
	=Elster I =Jaroslavian		=Elster II =Cracovien		=Saale =Varsovien I		=Saale =Varsovien I	
Nordeuropa	Jüngere Braunkohlen Wetterau, Frankfurter Klärbecken Reuver, Brunsum u.s.w.		Forestbed Tegelen? Mösbach Maur		Holsteinsee Paludinschichten Luneburger Kieselgur Cannstatter Sauerwasserkalk		Eem-Meer Weimarer Tuffe Rabutz, Brorup u.s.w.	
Alpen	Reichenberg, Schwanheim		Hochterrasseneiszeiten Altere =Mindel I (PENCK & EBEL) =Kander (BECK) Wiener Laaerberg-u. Arsenalsschotter		Jüngere =Mindel II (PENCK & EBEL) =Glütsch (BECK) Leffe =Glütsch (BECK) Wiener Laaerberg-u. Arsenalsschotter		Meiste Schieferkohlen Höttinger Breccie	
Südmeere	Plaisancien Kimmere Babadshan		Calabriën Tschauda Apscheron		Sicilien Baku Singil		Tyrrenien Monastrien-Flandrien Karangaf-u Usulan-Meer Chosar Atel	
	Mittelmeer: Kimmer Babadshan		Tschauda Apscheron		Milazzien Aitteuxin Singil		I Würm-Vorstoss =Grösste Eiszeit =Saale =Varsovien I	
	Kaspi:		Tschauda Apscheron		Milazzien Aitteuxin Singil		I Würm-Vorstoss =Grösste Eiszeit =Saale =Varsovien I	
	Kaspi:		Tschauda Apscheron		Milazzien Aitteuxin Singil		I Würm-Vorstoss =Grösste Eiszeit =Saale =Varsovien I	
	Kaspi:		Tschauda Apscheron		Milazzien Aitteuxin Singil		I Würm-Vorstoss =Grösste Eiszeit =Saale =Varsovien I	

Zeitliche Verbreitung einiger Leitfossilien in Europa:



Stratigraphical Chart of Central & East Falcon

compiled by A. Senn 1934

		Generalised Section of Central Falcon (older Eocene of Maracaibo Lake)	Generalised Section of East Falcon (Pleistocene of LaGuaira)	Mollusk faunas	Faunas of smaller Foraminifera	Larger Foraminifera																	
						Discocyclus	Asterocyclina	Lepidocyclus				Helicocyclina	Miogypsina	Dictyoconus	Nummulites	Heterostegina	Spiroclypeus	Amphistegina	Pellatispira				
Quaternary	Holocene			Ia																Holocene	Quaternary		
	Pleistocene		Caboblanco beds	Ib																Pleistocene			
Pliocene		Upper Cadore - formation	Punta Gavilan - formation	II																Pliocene			
Miocene	Upper	La Vela - formation (incl. Coroconglomerate)	A1 c - Clays (+ Aguasalada - Clays, zone A1 c)	IIIa	A1 c															Upper	Miocene (Gatun - stage)		
	Middle (Gatun - stage)	Damsite - formation	Capadare limestone A1 a - Clays Intermediate beds Miogypsina limestone	IIIb	A1 a																	Middle	
	Lower	Socorro Formation Socorro sands Querales shales	A2 - Clays Bachacal sands A3 - Clays	IVa IVb	A2 A3																		Lower
Oligocene	Upper	Cerro Pelado sands	Curamichate sands A3 - A4 Clays A4 - Clays	Va	?																Upper	Oligocene	
		marine zone Aguaclara shales	El Mene sandformation	Vb	A3-A4 A4																		
	Middle (SanLuis - stage)	San Luis limestone s.str. Pecaya shales S.J.Vega s. Bocaina l ^{ste}	San Luis limestone of Aqualinda region	VIa	San Luis Pedregal																		Middle (SanLuis - stage)
	Lower	Aguanegra formation Churuguara beds Jarillal - shales Raetomya - shales Sta Rita conglomerate	Churuguara - beds & Tacamire - sandstone Tacamire shales & Guayaval marls Cerro Campana beds	VIb VII	Guayaval s.str.																		Lower
Eocene	Upper	Sta Rita stage Menegrande beds	Cerro Campana beds	VII	Pauji																Sta Rita stage	Upper	
		San Pedro stage Pauji shales	Cerro Mision shales																				San Pedro stage
	Middle	Upper Misoa Trujillo formation Lower Misoa Trujillo formation	Paraiso - beds not exposed	?	?																	Middle	
Lower	Lower Misoa Trujillo formation Guasare limestone	not exposed	Vpl.																			Lower	
Upper Cretaceous		Colon shales			Upper Cretaceous fauna																Upper Cretaceous		

Abbreviations : V.pl = Venericardia planicosta ; S.J.Vega s. = San Juan de la Vega sandstone ; l^{ste} = limestone ; congl. = conglomerate

Stratigraphische Übersicht von Central- und Ost-Falcón (Venezuela)

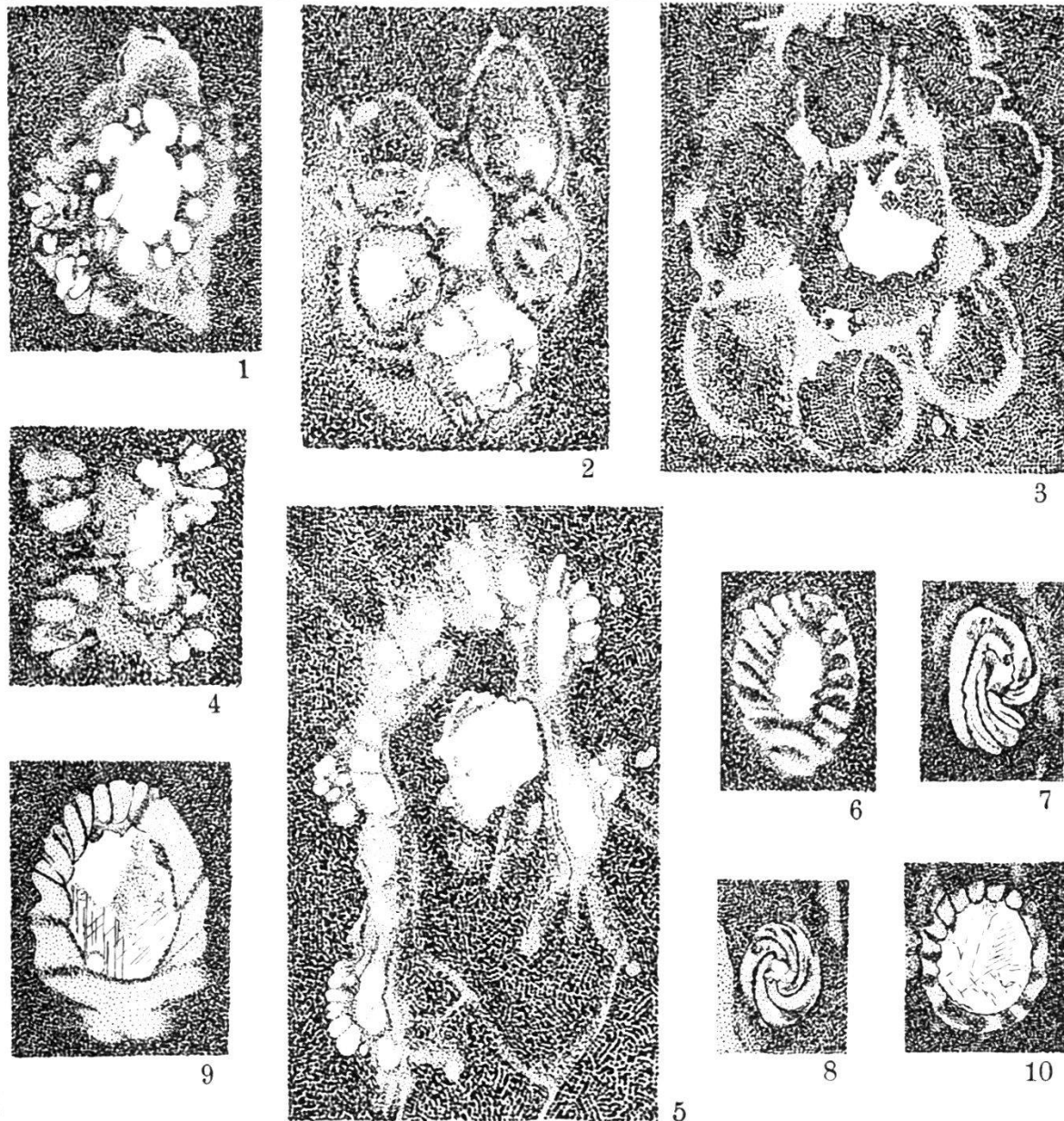


Fig. 1: Querschnitt durch den dünnern Teil der Nodialspindel eines *Clavator*-Stengels aus dem Purbeck des Schächentals. 40 : 1. BRÜCKNER Nr. 843 b/5. 12 abwechselnd dickere und dünnere Rindenschläuche, Spuren von Ausstülpungen.

Fig. 2 und 3: Querschnitte durch Nodialspideln von *Clavator*-Stengeln aus dem Purbeck des Schächentals. 40 : 1. BRÜCKNER Nr. 404 d/1 und 404β. Man erkennt die verdickten Rindenschläuche.

Fig. 4: Wahrscheinlich Bruchstück eines unberindeten Zweiges von *Clavator* aus dem Purbeck des Schächentals. 40 : 1. BRÜCKNER Nr. 404 d/1. Büschel von Ausstülpungen.

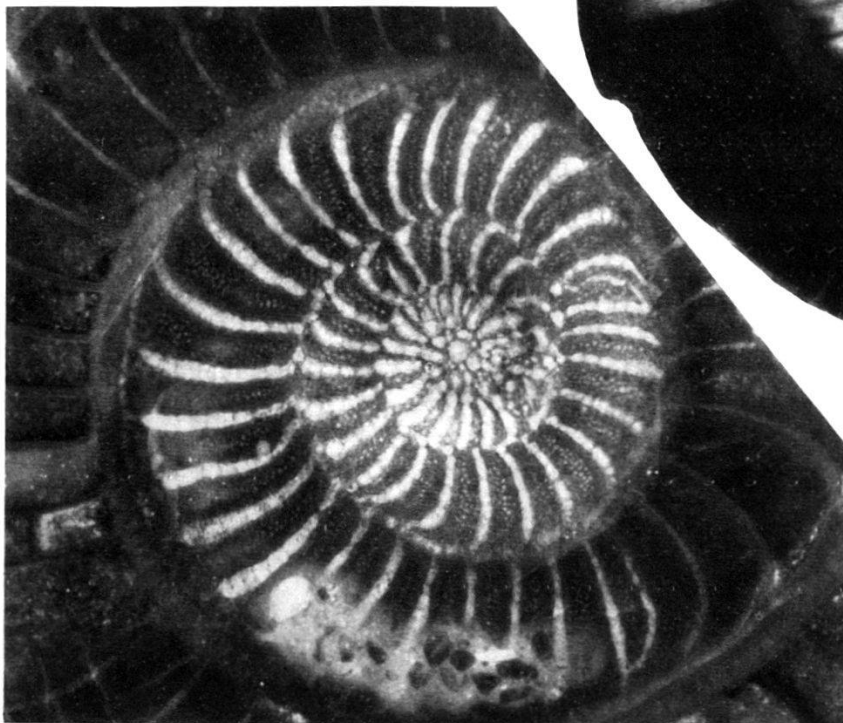
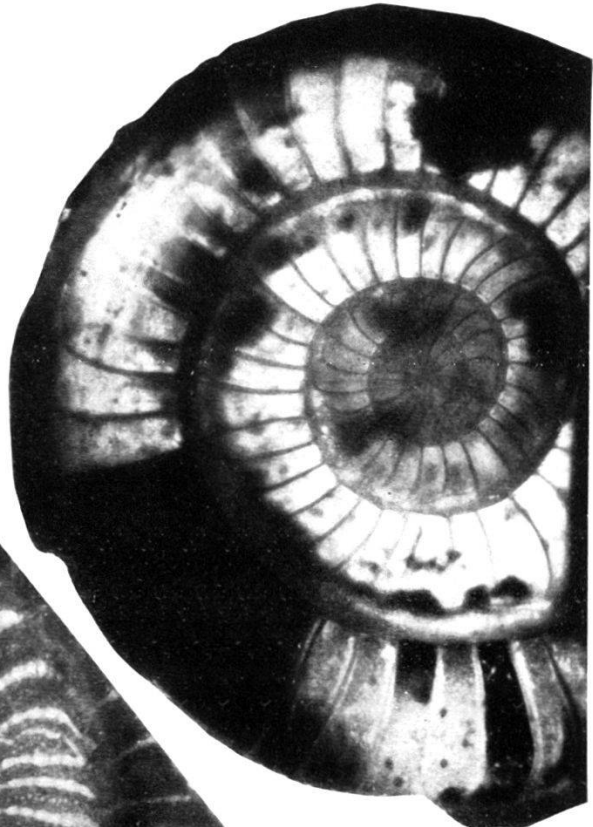
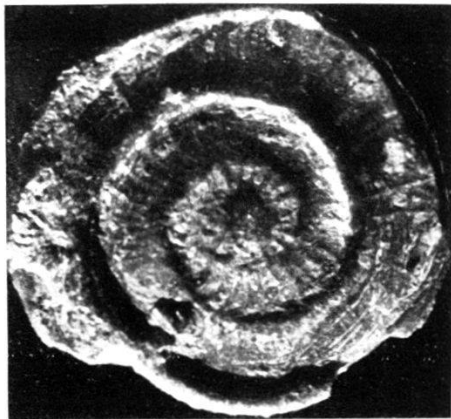
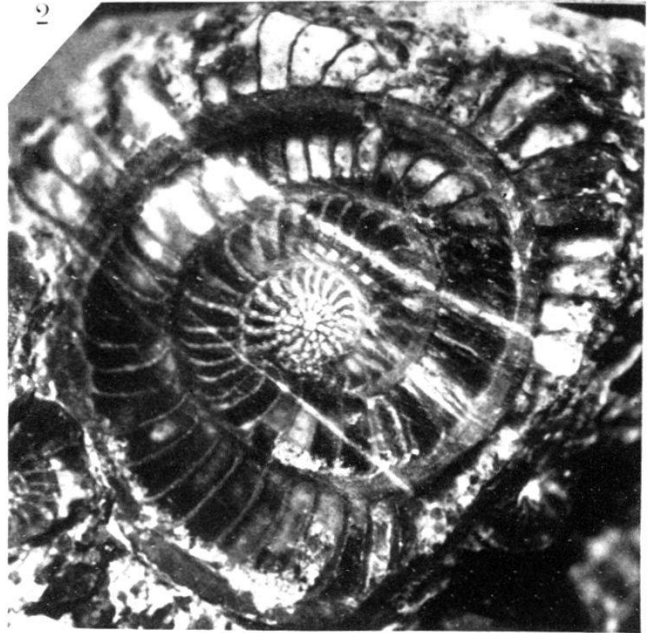
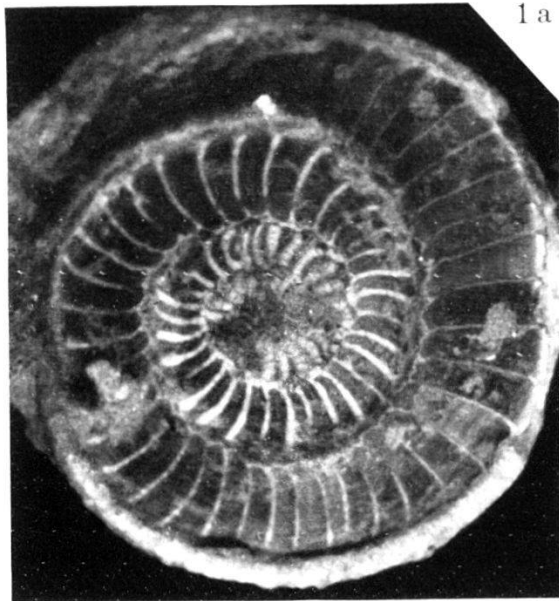
Fig. 5: Schräger Querschnitt durch einen aufgerissenen Stengel von *Clavator* aus dem Purbeck des Schächentals. 40 : 1. BRÜCKNER Nr. 843 b/5. Über den Rindenschläuchen sehr deutliche Büschel von Ausstülpungen.

Fig. 6—10: Verschiedene Schnitte durch Früchte von Charophyten aus dem Purbeck des Schächentals, wahrscheinlich zu drei Arten gehörig. 40 : 1. BRÜCKNER Nr. 404 d/1, 404 c/1 (die zwei Schnitte nächst der Spitze der Früchte, mit den deutlich spiralen Schläuchen), 843 b/1, 843 b/4.

Legende zu Tafel XI:

Assilina praespira DOUVILLÉ.

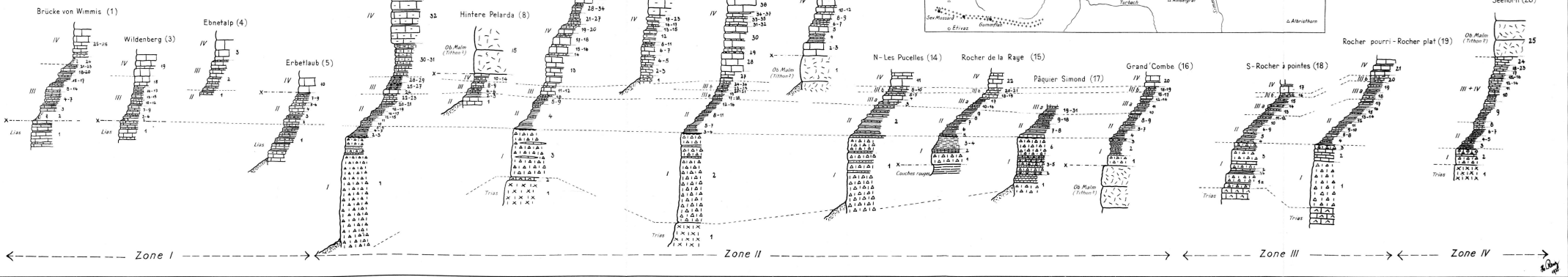
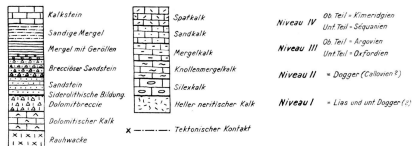
- Fig. 1: Ansicht der Schalenoberfläche. Der Spiralstrang des äussersten Umganges ist z. T. weggebrochen. Exemplar 1. Vergr. $3\times$.
- Fig. 1a: Dasselbe bei Anwendung eines Einbettungsmittels. Vergr. $4,2\times$
- Fig. 2: Ansicht der Schalenoberfläche bei Einbettung. Exemplar 2. Vergr. $4,2\times$.
- Fig. 3: Medianer Anschliff von Exemplar 1. Vergr. $6\times$.
- Fig. 4: Anschliffbild der Polgend. Siehe die dichte Kalksubstanz über den Septen und in der Lateralwand zwischen den Septen. Vergr. $9,7\times$.
-



Profil durch die Mytilus-Schichten im östlichen Teil der Préalpes romandes

Masstab 1:2000

Lithologische Legende



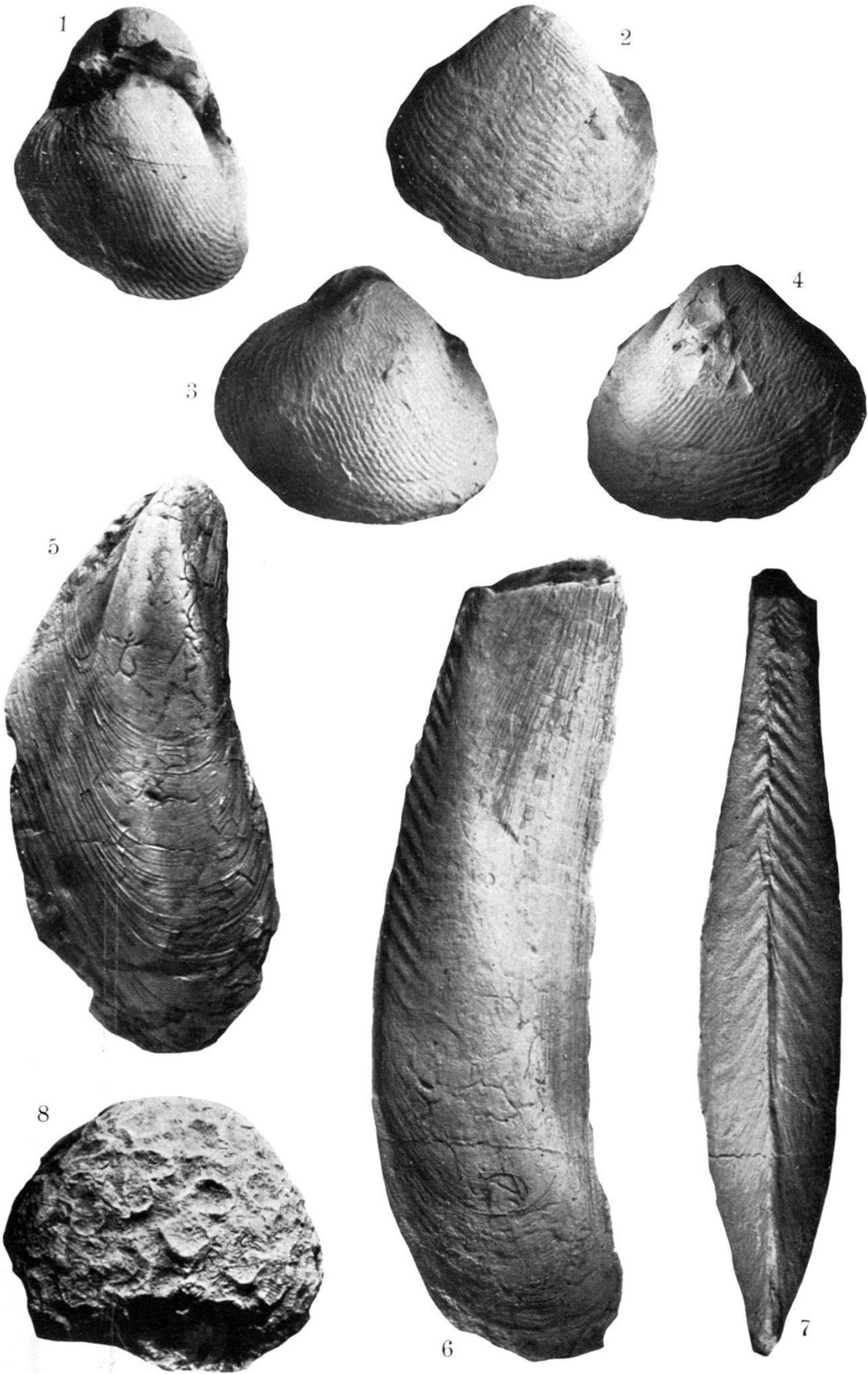
Legende zu Tafel XIII:

Fig. 1—4: *Ceromya wimmisensis* GILLIÉRON. Nat. Grösse.

Fig. 5: *Mytilus arbenzi* nov. spec. Nat. Grösse.

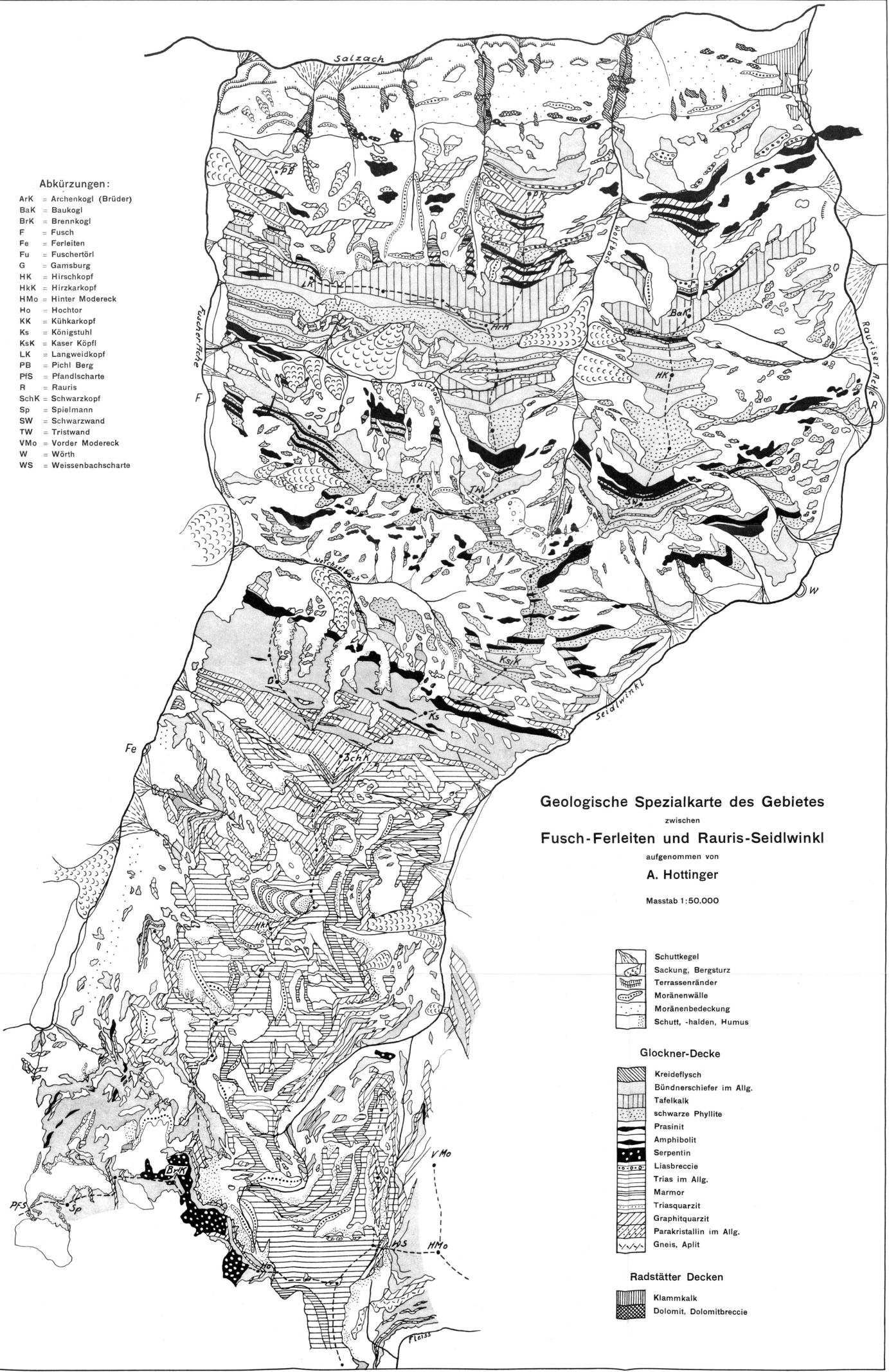
Fig. 6—7: *Modiola gillieronii* nov. spec. Nat. Grösse.

Fig. 8: *Favia* cf. *caryphylloides* GOLDFUSS. Nat. Grösse.



W. Leupold phot.

Druck Birkhäuser, Basel.



Abkürzungen:

- ArK = Archenkogel (Brüder)
- BaK = Baukogel
- BrK = Brennkogel
- F = Fusch
- Fe = Ferleiten
- Fu = Fuschertörl
- G = Gamsburg
- HK = Hirschkopf
- HkK = Hirzkarkopf
- HMo = Hinter Modereck
- Ho = Hochtor
- KK = Kühkarkopf
- Ks = Königstuhl
- KsK = Kaser Köpfl
- LK = Langweidkopf
- PB = Pichl Berg
- PFS = Pfandscharte
- R = Rauris
- SchK = Schwarzkopf
- Sp = Spielmann
- SW = Schwarzwand
- TW = Tristwand
- VMo = Vorder Modereck
- W = Wörth
- WS = Weissenbachscharte

Geologische Spezialkarte des Gebietes
zwischen
Fusch-Ferleiten und Rauris-Seidlwinkl

aufgenommen von
A. Hottinger

Masstab 1:50.000

- Schuttkegel
- Sackung, Bergsturz
- Terrassenränder
- Moränenwälle
- Moränenbedeckung
- Schutt, -halden, Humus

Glockner-Decke



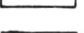
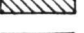
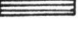


- Kreideflysch
- Bündnerschiefer im Allg.
- Tafelkalk
- schwarze Phyllite
- Prasinit
- Amphibolit
- Serpentin
- Liasbreccie
- Trias im Allg.
- Marmor
- Triasquarzit
- Graphitquarzit
- Parakristallin im Allg.
- Gneis, Aplit

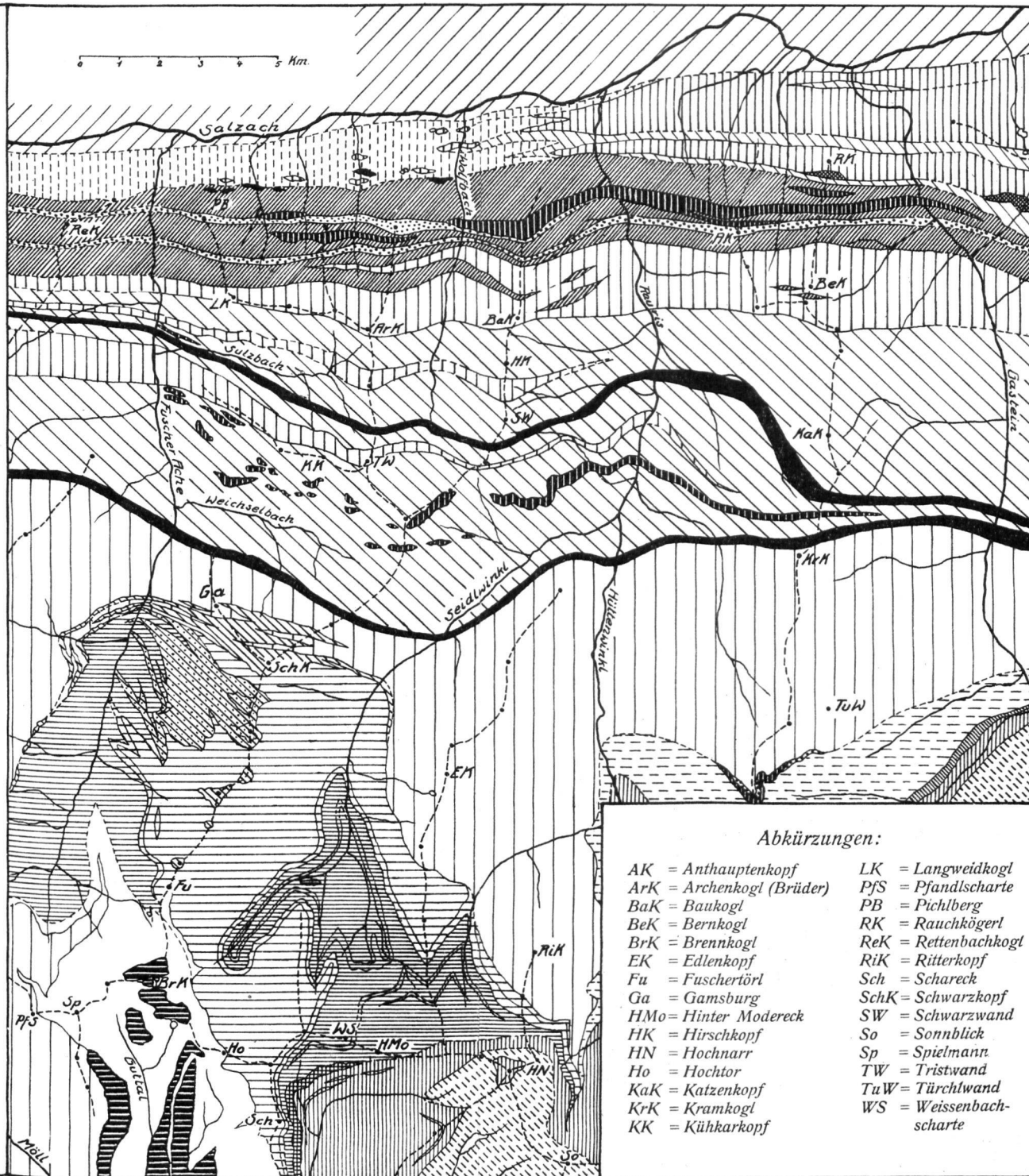
Radstätter Decken

- Klammkalk
- Dolomit, Dolomitbreccie

Tektonische Übersicht der Nordseite der östlichen Hohen Tauern

1 : 150.000

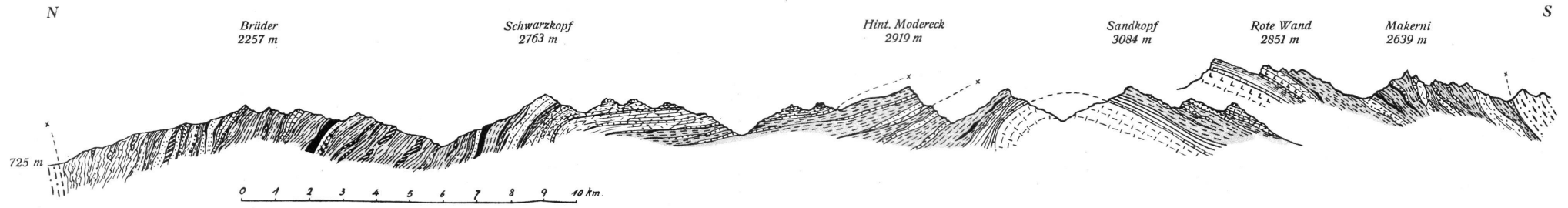
-  Pinzgauer Phyllitzzone, oberostalpin
-  „Flysch“-Zone, penninisch
-  Klammkalk
-  Kristalline Schiefer
- } Klammkalk-Zone, unterostalpin
-  Trias (Klippe, mittelostalpin)
-  Kleinschuppenzone
-  Amphibolit
-  Quarzitzüge
-  Bündnerschieferkalke
-  Schuppenzone, phyllitreich (Weichselbach, Sulzbach)
-  Prasinitzüge
-  Glockner-Mesozoikum (Bündnerschiefer und Ophiolithe)
-  Brennkogl - Spielmann - Ferleiten - Serie
-  Serpentine
-  Schwarzkopf-Serie
-  Nördliche Modereck-Decke = Seidlwinkl-Decke
-  Schuppenzone des Modereck
-  Gneis der roten Wand = Fleiss-Decke
-  Schuppenzone der Mandlkarhöhe
-  Angertaltrias
-  Sonnblick-Schuppen
-  Sonnblick-Hochalm-Gneis
-  Rückgefaltetes Kristallin im Ferleitentale



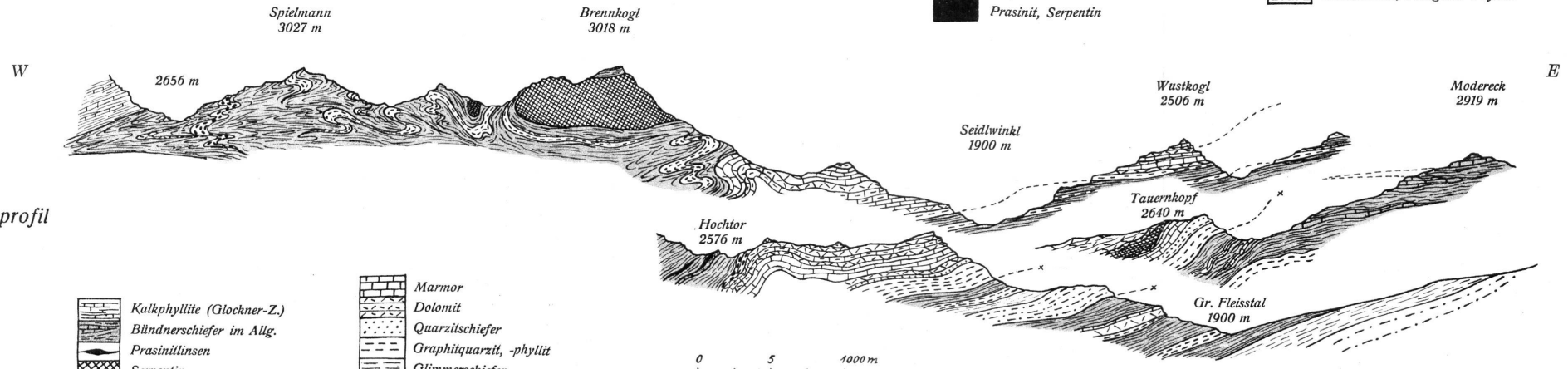
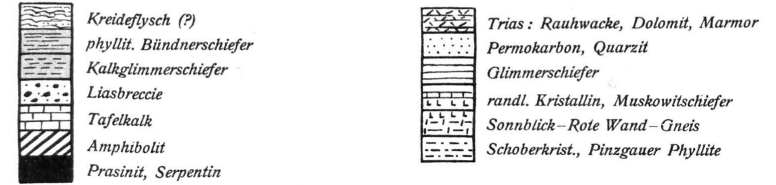
Abkürzungen:

- | | |
|----------------------------|-----------------------|
| AK = Anthauptenkopf | LK = Langweidkogel |
| ArK = Archenkogel (Brüder) | PfS = Pfandischarte |
| BaK = Baukogel | PB = Pichlberg |
| BeK = Bernkogel | RK = Rauchkögerl |
| BrK = Brennkogel | ReK = Rettenbachkogel |
| EK = Edlenkopf | RiK = Rüttenkopf |
| Fu = Fuschertörl | Sch = Schareck |
| Ga = Gamsburg | SchK = Schwarzkopf |
| HMo = Hinter Modereck | SW = Schwarzwand |
| HK = Hirschkopf | So = Sonnblick |
| HN = Hochnarr | Sp = Spielmann |
| Ho = Hoctor | TW = Tristwand |
| KaK = Katzenkopf | TuW = Türchlwand |
| KrK = Kramkogel | WS = Weissenbach- |
| KK = Kühkarkopf | charte |

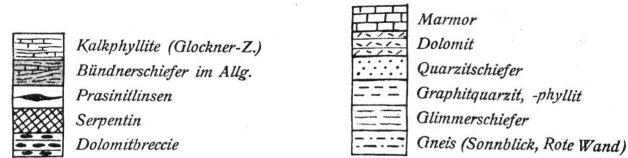
Profile durch die östlichen Hohen Tauern



Querprofil

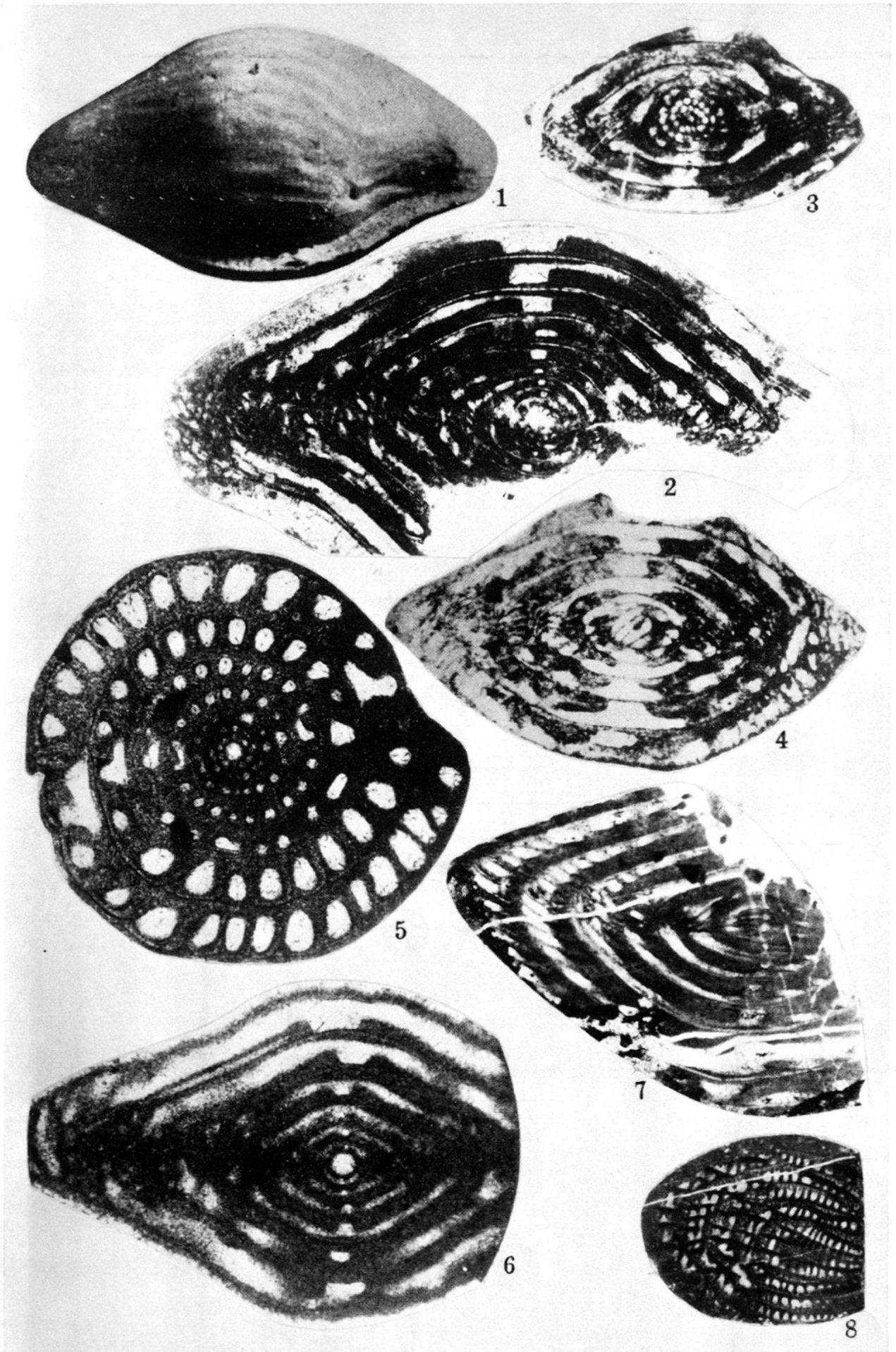


Längsprofil



Explanation of plate XVII.

- Figs. 1, 2: *Yangchienia tobleri* THOMPSON, n. sp. 1, External view, $\times 18.5$; and 2, axial section, $\times 27.4$, from the Sosio beds (Pietra di Salomone) of Sicily. (After A. SILVESTRI.)
- Fig. 7: *Yangchienia tobleri* THOMPSON, n. sp. Slightly tangential axial section, $\times 30$, from the Island of Katakupho, Greece.
- Figs. 3, 4: *Yangchienia iniqua* LEE. Axial sections, $\times 40$, from the Chihhsia limestone, near Nanking, China. (After LEE.)
- Figs. 5, 6: *Yangchienia? itoi* (OZAWA). Sagittal and axial sections, $\times 45$, from the Upper Permian near Shiraiwa, Japan. (After OZAWA.)
- Fig. 8: *Sumatrina pesuliensis* OZAWA and TOBLER. Tangential section of a specimen in the same slide with *Yangchienia tobleri*, n. sp., $\times 10$.
-



Legende zu Tafel XVIII.

I. Fig. 1—11: *Coscinoconus alpinus* n. g., n. sp., pag. 610.

Fig. 1—7, 9—11 von Fundort 5, S Bättenalpburg, Axalpgebiet, östl. Faulhorngruppe.

Fig. 8 von Fundort 1, Urserli, E Axalp, östl. Faulhorngruppe.

Fig. 1. Seitenansicht eines freien Exemplars, 24×.

Fig. 2. Dorsalseite eines freien Exemplars, 24×.

Fig. 3. Ventralseite eines freien Exemplars, Gitterplatte von aussen, etwas angeschliffen, 24×.

Fig. 4. Gitterplatte von innen, durchleuchtet (der Dorsalteil wurde bis auf die Höhe des letzten Umganges der Wendeltreppenplatte weggeschliffen). Die am tiefsten ins Schaleninnere hängenden Draperien zeichnen sich scharf ab, etwas unschärfer das engere Maschenwerk der Oberfläche der Gitterplatte. 24×.

Fig. 5, 6, 7. Vertikalschnitte aus Dünnschliffen der Breccie von Fundort 5; 5 und 7 ziemlich genau axial, 25×.

Fig. 8. Vertikalschnitt aus Dünnschliff der Breccie von Fundort 1, 25×.

Fig. 9. Schnitt entlang der Oberfläche der Gitterplatte, parallel der Ventralseite, vergrössert aus Dünnschliffbild Fig. 11, etwas links über der Mitte, 66×.

Fig. 10. Ein Schnitt durch die tieferen Teile der Gitterplatte, ausserdem zwei schiefe, dem Kegelmantel entlang streifende Schnitte, 25×.

Fig. 11. Dünnschliff der Mikrobreccie von Fundort 5 mit zahlreichen *C. alpinus* (links Millimetermasstab), 7,5×.

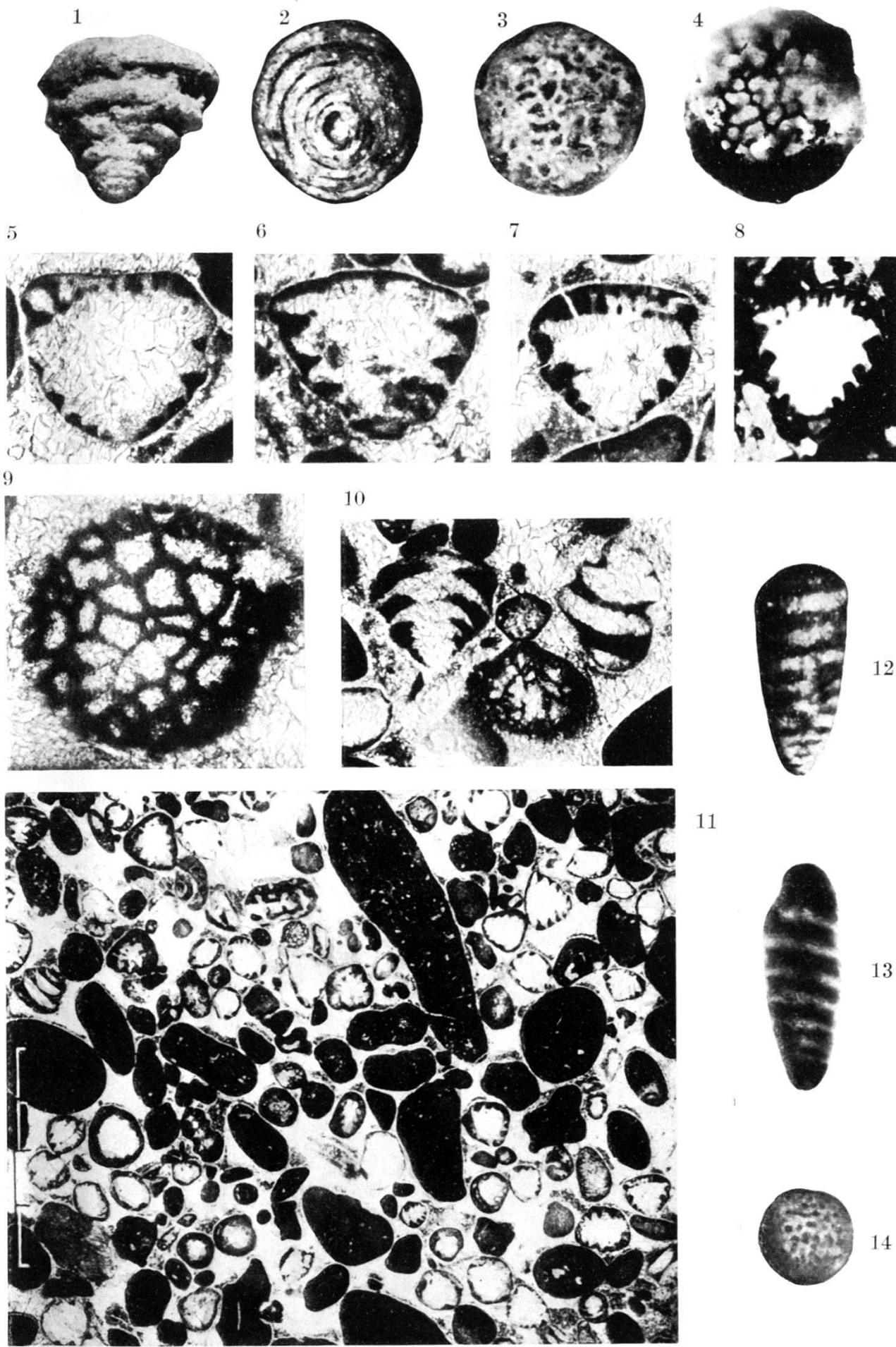
II. Fig. 12—14: *Coscinoconus elongatus*. n. g., n. sp., pag. 617.

Fundort: Berriasmergel, Veveyse de Châtel bei Châtel St-Denis, Préalpes externes.

Fig. 12. Seitenansicht von aussen, Balsampräparat 46×.

Fig. 13. Parallel der Axe angeschliffenes Exemplar, durchleuchtet, 25×.

Fig. 14. Ventralseite, Gitterplatte von aussen, 46×.



S

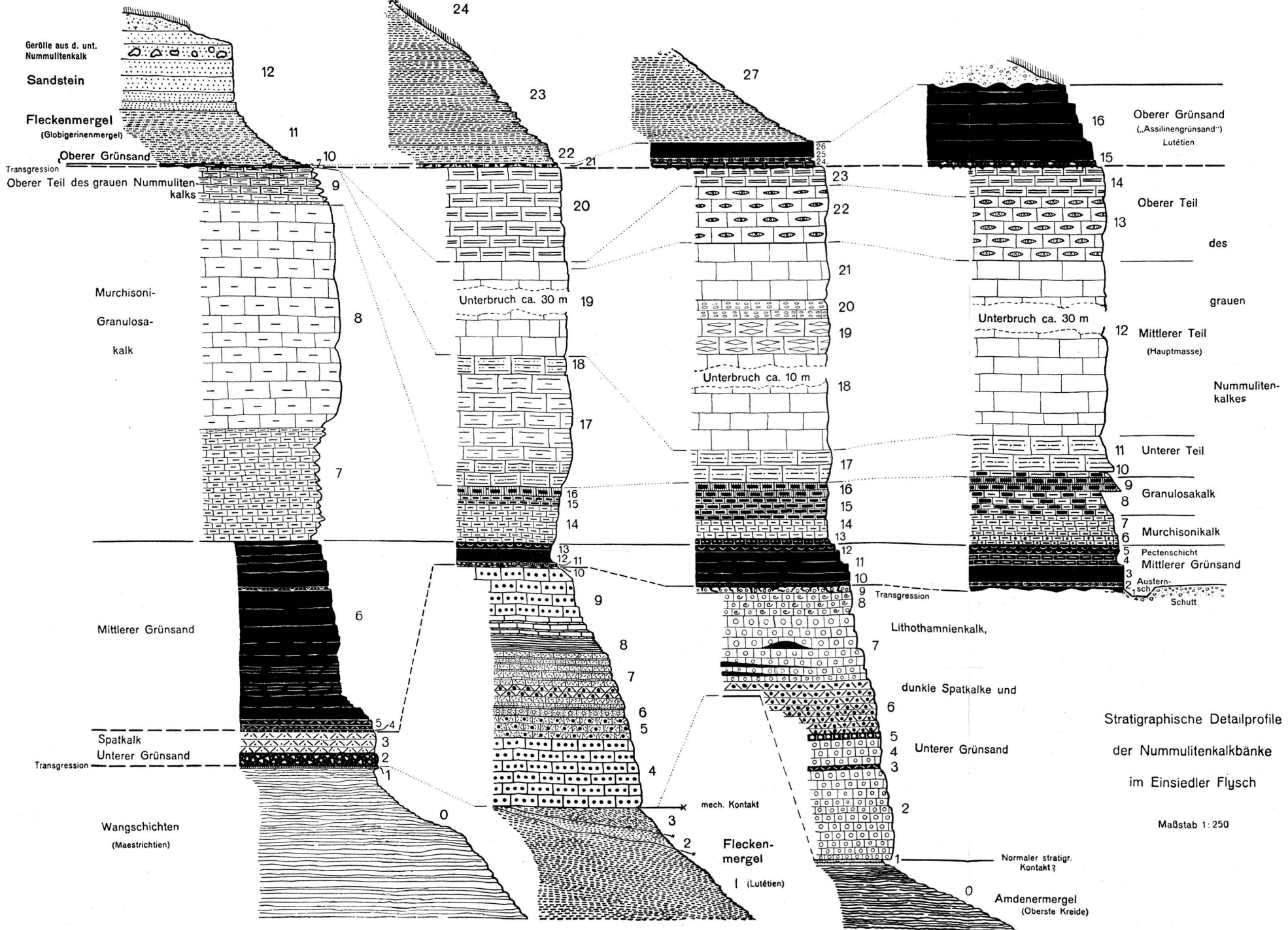
N

4. Fidersberg

3. Hagelfluh

2. Steinbach

1. Kalch



Stratigraphische Detailprofile der Nummulitenkalkbänke im Einsiedler Flysch

Maßstab 1:250

Normaler stratigr. Kontakt?

Amdenermergel (Oberste Kreide)

Coupes géologiques du Bassin de la Haute-Sihl

par A. Jeannet.

Avec utilisation des documents publiés par Albert Heim (Mythen), J. Oberholzer et E.C. Quereau.

